

### 13. ตัวต้านทานแมกนีโต (magnetoresistor)

13.1 การทดสอบปรากฏการณ์แมกนีโตริสแตนซ์ในเซรามิกส์เพอร์โรแมกнетิก  
บทความ การทดสอบปรากฏการณ์แมกนีโตริสแตนซ์ในสาร  $\text{La}_{0.7}\text{Sr}_{0.3}\text{MnO}_3$  ด้วยคอมพิวเตอร์

ธงชัย พันธ์เมฆาถุทธิ์

Thongchai Panmatarith

M.Sc. (Solid State Physics), Assoc. Prof., Materials Physics Laboratory,

Department of Physics, Faculty of Science, Prince of Songkla University, Hat Yai, 90112 Thailand.

Corresponding e-mail : tongchai.p@psu.ac.th

#### บทคัดย่อ

ได้ทดสอบปรากฏการณ์แมกนีโตริสแตนซ์ในสาร  $\text{La}_{0.7}\text{Sr}_{0.3}\text{MnO}_3$  ด้วยคอมพิวเตอร์

#### Abstract

Magnetoresistance effect of  $\text{La}_{0.7}\text{Sr}_{0.3}\text{MnO}_3$  material was tested with computer.

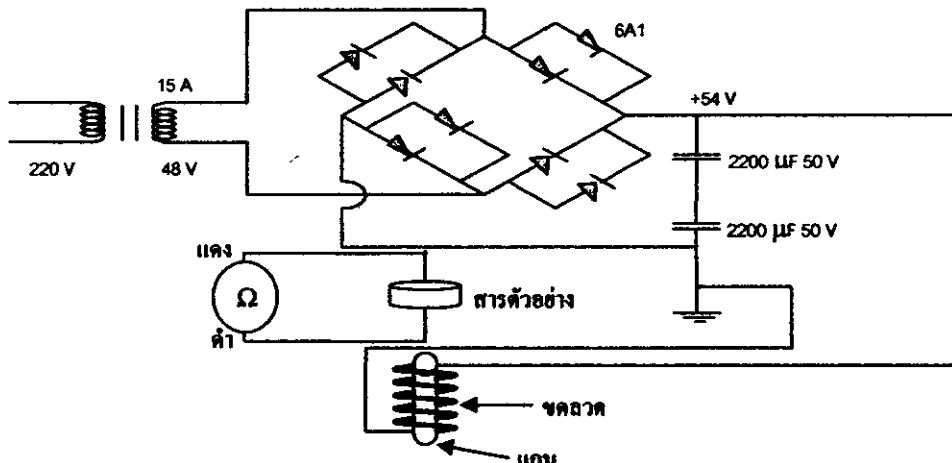
Key words : magnetoresistance material

#### คำนำ

จุ(ญ) ที่ศูนย์กลางหน่วยวิจัยสภาพภัณฑ์ไฟฟ้าอิ่มยาด ภาควิชาฟิสิกส์ มหาวิทยาลัยแม่ริบันด์ ได้ศึกษา  
ปรากฏการณ์ของแมกนีโตริสแตนซ์ใหญ่ (Giant magnetoresistance(GMR) effect) ในเซรามิกส์  
 $0.7\text{La}_2\text{O}_3+0.6\text{SrCO}_3+2\text{MnO}_2$  ได้คำนวนอัตราส่วนแมกนีโตริสแตนซ์ [Magneto resistance (MR) ratio] ซึ่งมีนิยามดัง  
สมการ  $[R(O)-(R(H)/R(H=0)]$  เมื่อ  $R(O)$  เป็นความต้านทานศูนย์ (Zero magnetic field) และ  $R(H)$  เป็นความต้านทาน  
สนามแม่เหล็ก(Magnetic field) (JU 1995)

#### วิธีการทดลอง

- 1) ประภอบเครื่องทำสนามแม่เหล็กความแรงสูงตามรูป 13.1.1 หม้อแปลงจะเปลี่ยนแรงดัน 220 V ให้เป็น 48 V  
แรงดันไฟฟ้าตั้ง 48 V ผ่านชุดควบคุมที่ต่อแบบบิริด์ เพื่อแปลงเป็นแรงดันไฟฟ้าตรง 48 V ให้ตัวเก็บประจุ 2200  $\mu\text{F}$  2 ตัวเพื่อ  
กรองแรงดันไฟฟ้าให้เรียบหรือคงที่มากขึ้น



รูปที่ 13.1.1 เครื่องทำสนามแม่เหล็กความแรงสูง

2) วัดและคำนวณค่าสนามแม่เหล็กที่ใช้ท่อดลวงจากสูตร  $B = \mu_0 \mu_r N I / 2L$

สภาพร้านซึ่งได้ทางแม่เหล็กของสูญญากาศซึ่งเป็นค่าคงที่ ( $\mu_0$ ) =  $4\pi \times 10^{-7}$  Wb/Am

สภาพร้านซึ่งได้ท่อกลวงแม่เหล็กสมพาร์ก ( $\mu_r$ ) ที่เปิดจากตารางในหนังสือ = 5000 (แม่เหล็ก)

กระแสไฟฟ้าที่ในลั่นตัวของขดลวดเนียนยาน้ำ ( $I$ ) = 4.5 A (วัดด้วยมัลติมิเตอร์)

ความยาวของแกนของขดลวด ( $L$ ) =  $6 \times 10^{-2}$  m

ความต้านทานของขดลวดเนียนยาน้ำ ( $R$ ) =  $12.76 \Omega$  (วัดด้วยโอล์มมิเตอร์)

เส้นผ่าศูนย์กลางของขดที่วัดได้ ( $d$ ) =  $0.6 \times 10^{-3}$  m

พื้นที่หน้าตัดของขดลวด ( $A$ ) =  $\pi d^2 / 4 = 2.28 \times 10^{-7}$  m<sup>2</sup>

สภาพต้านทานไฟฟ้าของขดลวดทองแดง ( $\rho$ ) =  $1.7 \times 10^{-8} \Omega \cdot \text{m}$  ( เปิดศูนย์จากตารางในหนังสือ )

ความยาวของเส้นลวดของขดลวด ( $L$ ) หาได้จากสูตร  $L = RA/\rho = 171.13$  m

ความยาวของขดลวด 1 รอบ =  $2\pi r = 2(22/7)(3.1 \times 10^{-3} \text{ m}) = 19.485 \times 10^{-2}$  m

จำนวนรอบของขดลวด ( $N$ ) หาได้โดยการนำความยาวของขดลวดทั้งหมด ( $L$ ) หารด้วยความยาว

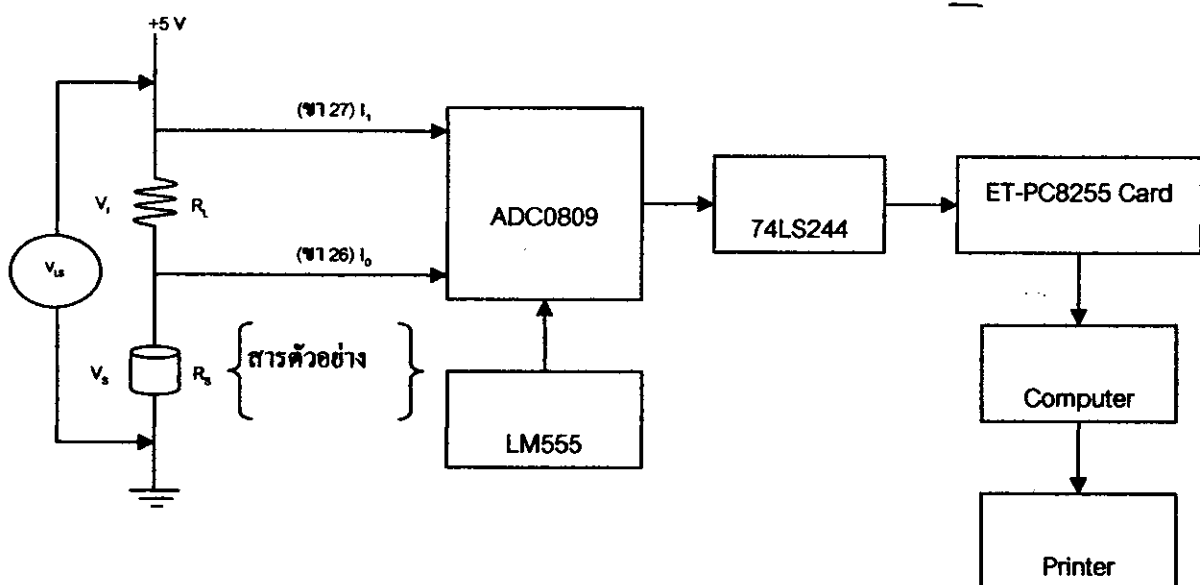
ของขดลวด 1 รอบ  $N = (171.13 \text{ m}) / (19.485 \times 10^{-2} \text{ m}) = 898$  รอบ

สนามแม่เหล็กสามารถคำนวณได้จากสูตร  $B = B = \mu_0 \mu_r N I / 2L$  ดังนี้

$$B = [(4\pi \times 10^{-7} \text{ Wb/Am})(5000)(898 \text{ turns})(4.5 \text{ A})] / (2 \times 6 \times 10^{-2} \text{ m}) = 2.07 \times 10^2 \text{ Wb/m}^2$$

3) ประยุกต์วงจรเรื่องต่อไปนี้ 13.1.2

—



รูปที่ 13.1.2 บล็อกไซเดียมแสดงความต้านทานการเรื่องต่อคอมพิวเตอร์

สำหรับการพยายามทดสอบการทำงานของแม่เหล็ก

4) เรียนโปรแกรมสำหรับให้คอมพิวเตอร์อ่านความต้านทานไฟฟ้าของสารที่เปลี่ยนแปลงในรูปแบบที่หยุดและได้รับรับ  
สนามแม่เหล็ก

5) ตั้ง Run บันทึกผล

## ผลการทดลอง

เมื่อทำการทดสอบปراกฏิการณ์แมกนีติวิสแคนเรื่องสาร  $\text{La}_{0.7}\text{Sr}_{0.3}\text{MnO}_3$  หรือ  $0.7\text{La}_2\text{O}_3 + 0.6\text{SrCO}_3 + 2\text{MnO}_2$  ด้วยคอมพิวเตอร์โดยใช้  $B = 0.73 \text{ mWb/m}^2$  พบว่าแรงดันไฟฟ้าต่ำครั้งสาร (V) กระแสไฟฟ้าที่ในล่างสาร (I) และความต้านทานของสาร (R) ที่ คำนวณมาจาก  $V/I$  มีค่าดังสมการ

กรณีอนسانามแม่เหล็ก ( $B=0$ ) ความต้านทาน (resistance, R) =  $7.25 \text{ ohm}$

ขณะป้อนอนسانามแม่เหล็ก ( $B=0.73 \text{ mWb/m}^2$ ) ความต้านทาน (resistance, R) =  $7.04 \text{ ohm}$

## วิเคราะห์การทดลอง

การทดสอบปراกฏิการณ์แมกนีติวิสแคนเรื่องสาร  $\text{La}_{0.7}\text{Sr}_{0.3}\text{MnO}_3$  จะนำไปประยุกต์ใช้งานเป็นหัววัดอนسانามแม่เหล็ก

## สรุปการทดลอง

ระบบเรื่องต่อคอมพิวเตอร์ที่ควบคุมด้วย LabVIEW สามารถแสดงผลการทดสอบปراกฏิการณ์แมกนีติวิสแคนเรื่องสาร  $\text{La}_{0.7}\text{Sr}_{0.3}\text{MnO}_3$

เอกสารอ้างอิง

ทองชัย พันธ์เมธาธารี<sup>1</sup> พลิกสวัสดิ์อิเล็กโทรเชรามิกส์ ภาควิชาฟิสิกส์ คณะวิทยาศาสตร์

มหาวิทยาลัยสงขลานครินทร์ 2548

[二](http://www.Ett.co.th, Manual of ET-PC8255 card, 2005-2007.</a></p>
</div>
<div data-bbox=)

## 13.2 การทดสอบปراกฏิการณ์แมกนีติวิสแคนรีไซโอดเรซงกระแส

บทความ การทดสอบปراกฏิการณ์แมกนีติวิสแคนรีไซโอดในไดโอด 1N4001 ด้วยโปรแกรมแลบวิว

ทองชัย พันธ์เมธาธารี<sup>1</sup> และ น.ส. อ้อมใจ พรมรักษ์<sup>2</sup>

Thongchai Panmatarith<sup>1</sup> and Omjai Promrak<sup>2</sup>

<sup>1</sup>M.Sc. (Solid State Physics), Assoc. Prof., <sup>2</sup>Physics student, Materials Physics Laboratory,

Department of Physics, Faculty of Science, Prince of Songkla University, Hat Yai, 90112 Thailand.

Corresponding e-mail : tongchai.p@psu.ac.th

## บทคัดย่อ

ไดโอดทดสอบปراกฏิการณ์แมกนีติวิสแคนรีไซโอด 1N4001 ด้วยโปรแกรมแลบวิว

## Abstract

Magnetoresistance effect of diode 1N4001 was tested with computer.

Key words : magnetoresistance material

## คำนำ

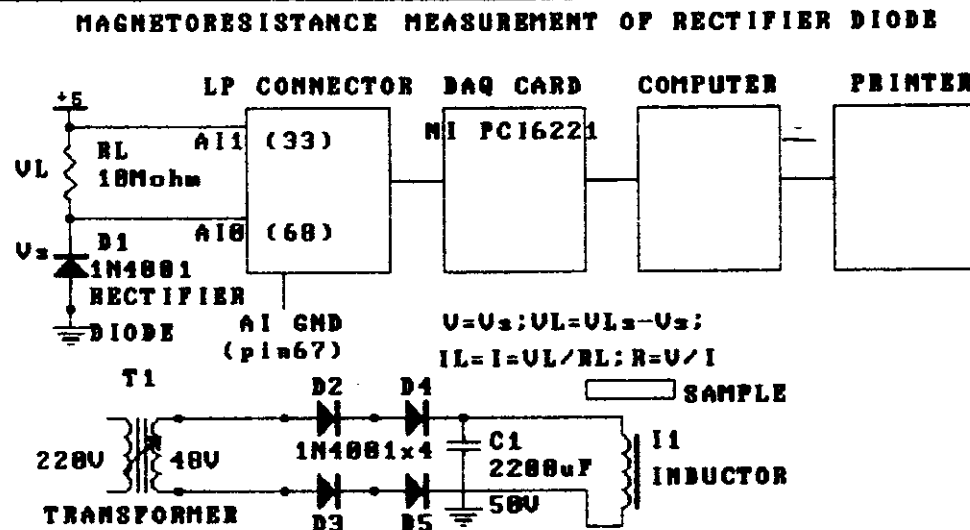
จุ(ป) พิศุนย์ถudies หน่วยวิจัยสภาพการณ์ไฟฟ้าอย่างหาด ภาควิชาฟิสิกส์ มหาวิทยาลัยแม่ริวแลนด์ ได้ศึกษา ปراกฏิการณ์ของแมกนีติวิสแคนรีไก (Giant magnetoresistance(GMR) effect) ในเชรามิกส์

$0.7\text{La}_2\text{O}_3+0.6\text{SrCO}_3+2\text{MnO}_2$  ให้ค่าวนอุตสาหกรรมแมกนีโตรีสแคนซ์ [Magneto resistance (MR) ratio] ซึ่งมีนิยามดังสมการ  $[R(\text{O})-(\text{R}(\text{H})/\text{R}(\text{H=O})]$  เมื่อ  $\text{R}(\text{O})$  เป็นความต้านทานศูนย์ (Zero magnetic field) และ  $\text{R}(\text{H})$  เป็นความต้านทานสนามแม่เหล็ก (Magnetic field) (JU 1995)

### วิธีการทดลอง

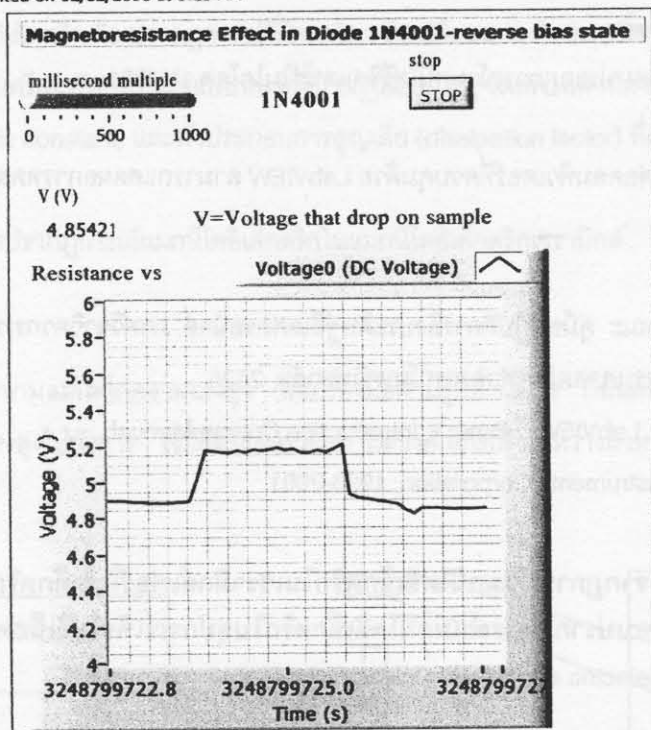
จุดที่ 13.2.1 กระแสไฟฟ้าจากแหล่งจ่ายไฟฟ้า 5 V ไหลผ่าน  $\text{RL}=10 \text{ M}\Omega$  และ ไดโอด 1N4001 ในลักษณะในอัลกอล์ ทำให้เกิดแรงดันไฟฟ้าต่ำครึ่ง  $\text{RL}$  และไดโอดเท่ากับ  $\text{VL}$  และ  $\text{Vs}$  เมื่อ  $\text{VLs}=\text{Vs}=VL$  ให้แรงดันไฟฟ้า  $\text{Vs}$  และ  $\text{VLs}$  เข้า AI0 และ AI1 ของ LP connector ผ่าน DAQ Card (PCI 6221) เข้าไปในคอมพิวเตอร์ ใช้สูตร  $\text{VL}=\text{VLs}-\text{Vs}$ ;  $\text{IL}=\text{VL}/\text{RL}$ ;  $\text{Is}=\text{IL}$ ;  $\text{R}=\text{Vs}/\text{Is}$  ปลดอย่างแม่เหล็ก  $B = 0.73 \text{ mWb/m}^2$  ให้แก่สาร บันทึกผลการเปลี่ยนแปลงความต้านทานของไดโอด

Front Panel และ Block Diagram แสดงดังรูปที่ 13.2.2 DAQ Assistant ทำหน้าที่อ่านแรงดันไฟฟ้า V Amplitude and Level Measurements ทำหน้าที่จัดปริมาณการวัดเป็นแบบ Mean (DC) และแสดงแรงดันไฟฟ้าด้วย Numeric Indicator และ Graph Indicator Millisecond Multiple เป็นเวลาหน่วง Stop Button เป็น numeric control ทำหน้าที่เปิดปิดสวิทช์ While Loop ทำหน้าที่ควบคุมการทำงานที่ร้าวแกน สั่ง RUN เพื่อแสดงผลทั้งหมด สั่งพิมพ์ Front Panel และ Block Diagram ออกทาง Printer

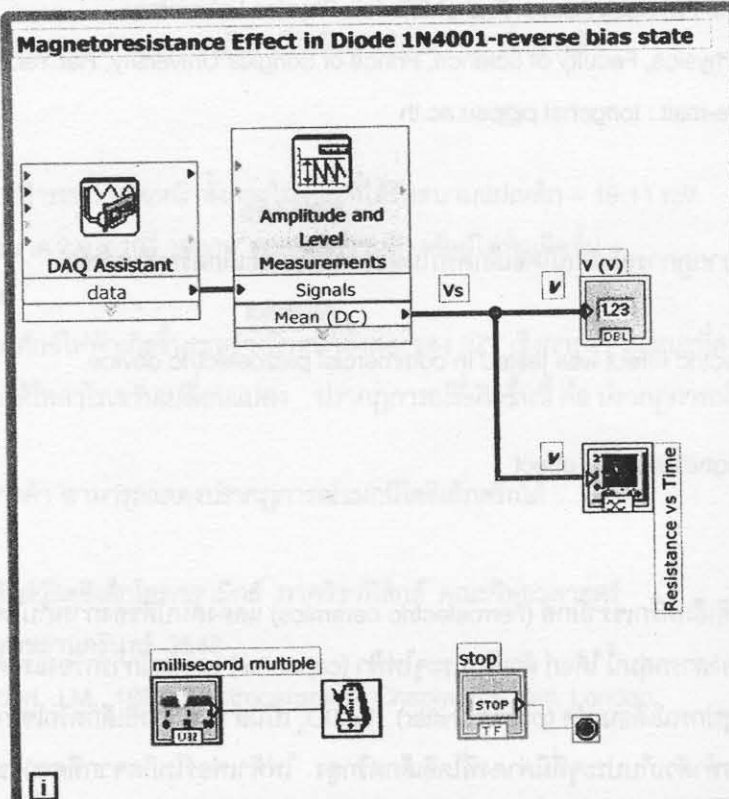


รูปที่ 13.2.1 การจัดตั้งการทดลองสำหรับการทดสอบประสิทธิภาพการณ์แมกนีโตรีสแคนซ์ในไดโอด 1N4001

Th-Diode-MR-reverse-Vdrop.vi  
 D:\0-0a\LV\Th-Diode-MR-reverse-Vdrop.vi  
 Last modified on 12/12/2006 at 8:23 AM  
 Printed on 12/12/2006 at 8:23 AM



Th-Diode-MR-reverse-Vdrop.vi  
 D:\0-0a\LV\Th-Diode-MR-reverse-Vdrop.vi  
 Last modified on 12/12/2006 at 8:23 AM  
 Printed on 12/12/2006 at 8:23 AM



ภาพที่ 13.2.2 Front Panel และ Block Diagram สำหรับการทดสอบปรากฏการณ์แมกนีตอิซแคนซ์ในไดโอด 1N4001 ด้วยคอมพิวเตอร์

## ผลการทดสอบ

ผลการทดสอบปรากฏการณ์แมกนีตอเรียสแตนซ์ในไดโอด 1N4001 ด้วยโปรแกรมแอลวิวเอสดงดังข้อที่ 13.2.2

## วิเคราะห์ผลการทดสอบ

ผลการทดสอบปรากฏการณ์แมกนีตอเรียสแตนซ์ในไดโอด 1N4001

## สรุปผลการทดสอบ

ระบบเขื่อมต่อคอมพิวเตอร์ที่ควบคุมด้วย LabVIEW สามารถแสดงผลการทดสอบปรากฏการณ์แมกนีตอเรียสแตนซ์ในไดโอด 1N4001

## เอกสารอ้างอิง

ศุลติ เครื่องงาน และคณะ คู่มือปฏิบัติการสั่งประดิษฐ์อิเล็กทรอนิกส์ ภาควิชาวิศวกรรมไฟฟ้า

คณะวิศวกรรมศาสตร์ จุฬาลงกรณ์มหาวิทยาลัย 2525

[Http:// www.ni.com](http://www.ni.com), LabVIEW™ Basic I. Introduction Course Manual,

National Instruments Corporation, 1993-2001.

## 13.3 การทดสอบปรากฏการณ์แมกนีตอเรียสไฟฟ้าและอิเล็กทริก นทความ การทดสอบปรากฏการณ์แมกนีตอเรียสไฟฟ้าและอิเล็กทริกในอุปกรณ์เพื่อใช้ในการค้า

Magnetoelectric effect test in commercial piezoelectric device

### คงชัย พันธ์เมฆาถุทธิ์

二

Thongchai Panmatarith

M.Sc. (Solid State Physics), Assoc. Prof., Materials Physics Laboratory,

Department of Physics, Faculty of Science, Prince of Songkla University, Hat Yai, 90112 Thailand.

Corresponding e-mail : tongchai.p@psu.ac.th

### บทคัดย่อ

ได้ทดสอบปรากฏการณ์แมกนีตอเรียสไฟฟ้าและอิเล็กทริกในอุปกรณ์เพื่อใช้ในการค้า

### Abstract

Magnetoelectric effect was tested in commercial piezoelectric device

Key words : magnetoelectric effect

### บทนำ

สารเฟอริโซตอเรียสเซรามิกส์ (Ferroelectric ceramics) แสดงสมบัติของการเก็บไฟฟ้า (capacitive property) การประยุกต์ใช้ของสารกรุ่นนี้ ได้แก่ ตัวเก็บประจุไฟฟ้า (capacitor) อุปกรณ์การกรองแสงด้านไฟฟ้าความถี่สูงผ่าน (high pass filter) และอุปกรณ์เลื่อนเฟส (phase shifter)  $\text{BaTiO}_3$  เป็นสารเฟอริโซตอเรียสเซรามิกส์แสดงสมบัติเพื่อใช้ในการค้าและนำไปใช้ในการทำตัวเก็บประจุที่มีค่าคงที่ต่อไปนี้ ไฟฟ้าเฟอริโซตอเรียสเซรามิกส์ ( $\text{BaTiO}_3$ ) ให้ความต้านทานต่ำ ( $\text{low resistance}$ ) ทำให้เกิดการเปลี่ยนทางของขั้วไฟฟ้า ( $\text{electric dipole moment}$ ) บริเวณที่มีโพลาไรซेशัน (polarization) ที่ทางเดียวเรียกว่า โดเมน (domain)  $\text{BaTiO}_3$  มีโครงสร้างผลึกแบบเพอรอฟสไท์ (perovskite structure) โดเมนจะให้ขั้นเมื่อสารได้รับสนามไฟฟ้าแรงสูง หลังจากที่

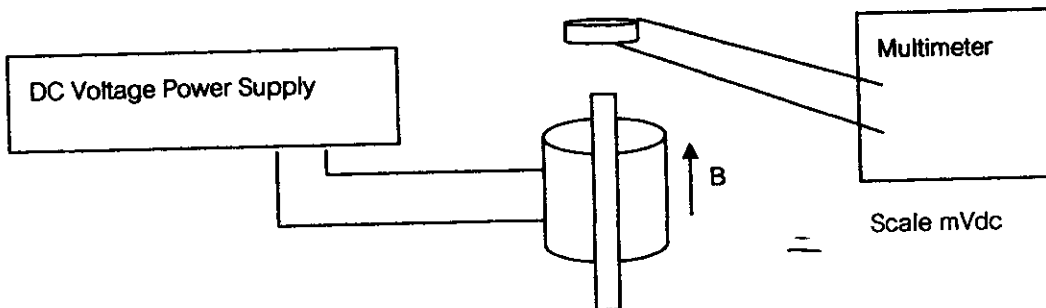
ผ่านการโพลิง (poling) พบว่าค่าคงที่ไดอิเล็กทริก (dielectric constant) จะเพิ่มขึ้น การมีไฟฟ้าเรซันเด้นในสารเนื่องจากผลกระทบของการโพลิงสามารถพิจารณาได้จากการสัมผาไฟฟ้าเรซันเด้นเปลี่ยนแปลงในขณะที่สารอยู่ในสถานะแม่เหล็ก

ปรากฏการณ์แมกนีติโอดิเล็กทริก คือ ปรากฏการณ์ที่ไฟฟ้าเรซันเด้นเปลี่ยนแปลงในขณะที่สารอยู่ในสถานะแม่เหล็ก Ligin Zhou ในประเทศไทย ได้เตรียมตัวเก็บประจุแบบหลายชั้น  $\text{Sr}_{0.7}\text{Ba}_{0.3}\text{TiO}_3$  วัดสภาพด้านทานไฟฟ้า (resistivity) ค่าคงที่ไดอิเล็กทริก (dielectric constant) และค่าประกอบการสูญเสีย (dissipation factor) ที่ความถี่สัมพันธ์กับความถี่ (frequency)

บทความนี้เป็นการศึกษาปรากฏการณ์แมกนีติโอดิเล็กทริกในแมกนีติโอดิเล็กทริกเซรามิกส์

### วัสดุ อุปกรณ์และวิธีการ

สร้างเครื่องกำเนิดสถานะแม่เหล็กความแรงสูง จัดเครื่องมือตามรูปที่ 13.3.1 บีโอนสถานะแม่เหล็กจากเครื่องกำเนิดสถานะแม่เหล็กความแรงสูงไปยังสาร ใช้มัลติมิเตอร์วัดความต่างศักย์ไฟฟ้าระหว่างผิวน้ำทั้งสองในขณะที่ได้รับสถานะแม่เหล็ก



รูปที่ 13.3.1 การทดสอบปรากฏการณ์แมกนีติโอดิเล็กทริกใน PZT เงิงการค้า

### ผลการทดลอง

ความต่างศักย์ไฟฟ้าระหว่างผิวน้ำทั้งสองในขณะที่ได้รับสถานะแม่เหล็ก =  $19.11 \text{ mV}$

เมื่อให้สถานะแม่เหล็กที่มีขนาด  $2.9 \times 10^2 \text{ Wb/m}^2$  พบว่ามีความต่างศักย์ไฟฟ้าเกิดขึ้น

### วิเคราะห์ผลการทดลอง

การที่มีความต่างศักย์ไฟฟ้าเกิดขึ้นระหว่างผิวน้ำทั้งสองของ PZT เงิงการค้า ในขณะที่สารได้รับสถานะแม่เหล็ก เกิดจากสถานะแม่เหล็กทำให้ไฟฟ้าเรซันเด้นเปลี่ยนแปลง ปรากฏการณ์ที่เกิดขึ้นนี้ คือ ปรากฏการณ์แมกนีติโอดิเล็กทริก สูปมดลการทดลอง

สาร PZT เงิงการค้า สามารถแสดงปรากฏการณ์แมกนีติโอดิเล็กทริกได้

### เอกสารอ้างอิง

ลงชื่อ พันธุ์มนธาตุทธิ์ พลิกสวัสดิ์อิเล็กโทรเซรามิกส์ ภาควิชาฟิสิกส์ คณะวิทยาศาสตร์

มหาวิทยาลัยสงขลานครินทร์ 2548

Moulson, A.J. and Herbert, J.M., 1990, *Electrocermics*, Chapman & Hall, London.

## บทความ การทดสอบปรากฏการณ์แมกนีติโอดิเล็กทริกในสาร $\text{Sr}_{0.5}\text{Pb}_{0.5}\text{TiO}_3$ ด้วยโปรแกรมแลบวิว

Magnetoelectric effect test in  $\text{Sr}_{0.5}\text{Pb}_{0.5}\text{TiO}_3$  material LabVIEW Program

ชงชัย พันธ์มณฑาริท

Thongchai Panmatarith

M.Sc. (Solid State Physics), Assoc. Prof., Materials Physics Laboratory,

Department of Physics, Faculty of Science, Prince of Songkla University, Hat Yai, 90112 Thailand.

Corresponding e-mail : tongchai.p@psu.ac.th

### บทคัดย่อ

ได้ทดสอบปรากฏการณ์แมกนีติโอดิเล็กทริกในสาร  $\text{Sr}_{0.5}\text{Pb}_{0.5}\text{TiO}_3$  ด้วยโปรแกรมแลบวิว

### Abstract

Magnetoelectric effect was tested in  $\text{Sr}_{0.5}\text{Pb}_{0.5}\text{TiO}_3$  material with LabVIEW Program

**Key words :** magnetoelectric effect

### บทนำ

สารเพอร์โวติโอดิเล็กทริกเซรามิกส์ (Ferroelectric ceramics) แสดงสมบัติของการเก็บไฟฟ้า (capacitive property) การประยุกต์ใช้ของสารกลุ่มนี้ ได้แก่ ตัวเก็บประจุไฟฟ้า (capacitor) ถูกรองน้ำการกรองแรงดันไฟฟ้าความถี่สูงผ่าน (high pass filter) และอุปกรณ์เลื่อนเฟส (phase shifter)  $\text{BaTiO}_3$  เป็นสารเพอร์โวติโอดิเล็กทริกเซรามิกส์แสดงสมบัติเพอร์โวติโอดิเล็กทริก และนำไปใช้ในการทำตัวเก็บประจุที่มีค่าคงที่ไดอิเล็กทริกสูง ไฟฟ้าเพอร์โวติโอดิเล็กทริกจากทิศทางขานานกันของโมเมนต์ชั้วๆไฟฟ้า (electric dipole moment) บริเวณที่มีโพลาไรเซชัน (polarization) ทิศทางเดียวเรียกว่า โดเมน (domain)  $\text{BaTiO}_3$  มีโครงสร้างผลึกแบบเพอร์อฟสไกท์ (perovskite structure) โดเมนจะให้รีซึ่งเมื่อสารได้รับสนามไฟฟ้าแรงสูง หลังจากที่ผ่านการโพลิง (poling) พบว่าค่าคงที่ไดอิเล็กทริก (dielectric constant) จะเพิ่มขึ้น การมีโพลาไรเซชันด้านในสารเนื่องจากผลของการโพลิงสามารถพิจารณาได้จากการวัดการล้าเพอร์โวติโอดิเล็กทริก (ferroelectric hysteresis loop)

ปรากฏการณ์แมกนีติโอดิเล็กทริก คือ ปรากฏการณ์ที่โพลาไรเซชันเปลี่ยนแปลงในขณะที่สารอยู่ในสนามแม่เหล็ก  $\text{Ligin Zhou}$  ในประเทศไทย ได้เตรียมตัวเก็บประจุแบบหลายชั้น  $\text{Sr}_{0.7}\text{Ba}_{0.3}\text{TiO}_3$  วัดสภาพต้านทานไฟฟ้า (resistivity) ค่าคงที่ไดอิเล็กทริก (dielectric constant) และตัวประกอบการสูญเสีย (dissipation factor) ที่ความถี่พันธ์กับความถี่ (frequency)

บทความนี้เป็นการศึกษาปรากฏการณ์แมกนีติโอดิเล็กทริกในแมกนีติโอดิเล็กทริกเซรามิกส์

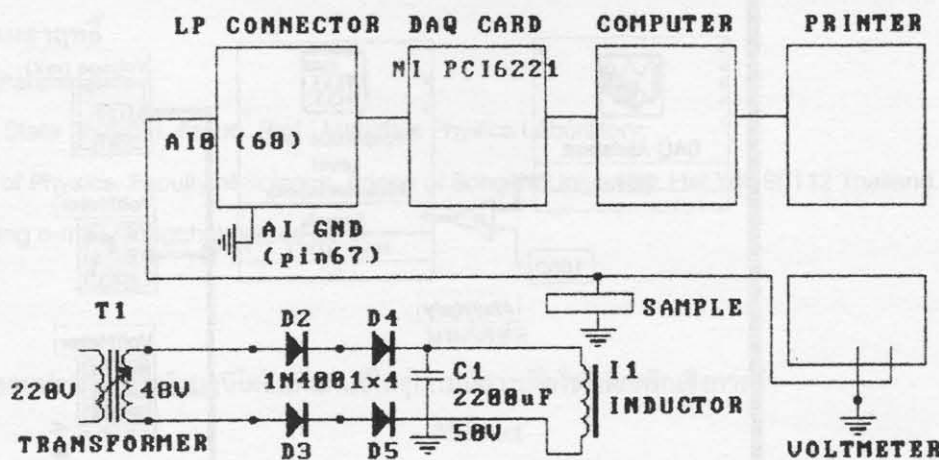
### วิธีการทดลอง

จัดตั้งดังรูปที่ 13.3.2 ปล่องสนามแม่เหล็ก  $B = 0.73 \text{ mWb/m}^2$  ให้แท่งสาร มีความต่างศักย์ไฟฟ้าเกิดขึ้นระหว่างผิวนอกและผิวนอกของสาร ให้ความต่างศักย์ไฟฟ้า  $V$  นี้ เข้า AI0 ของ LP connector ผ่าน DAQ Card (PCI 6221) เข้าไปในคอมพิวเตอร์ ให้แสดงกราฟความต่างศักย์ไฟฟ้าที่เปลี่ยนแปลงตามเวลา

Front Panel และ Block Diagram แสดงดังรูปที่ 13.3.3 DAQ Assistant ทำหน้าที่อ่านแรงดันไฟฟ้า  $V$  ให้ Multiply  $\times 1000$  ขยายแรงดันไฟฟ้าที่แสดงสูงมาที่ Amplitude and Level Measurements เพื่อทำหน้าที่จัดปริมาณการวัดเป็นแบบ Mean (DC) แสดงแรงดันไฟฟ้าด้วย Numeric Indicator และ Graph Indicator Millisecond Multiple เป็น

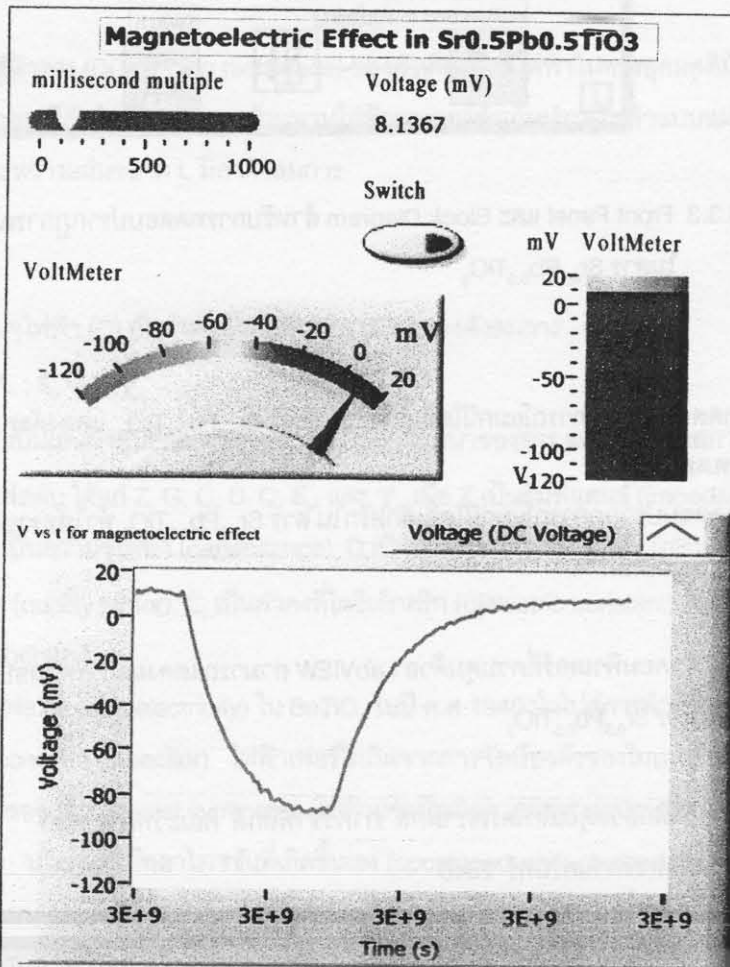
เวลาหน่วง Stop Button เป็น numeric control ทำหน้าที่เปิดปิดสวิทช์ While Loop ทำหน้าที่ควบคุมการทำงานที่เข้าๆ กัน สั่ง RUN เพื่อแสดงผลทั้งหมด สั่งพิมพ์ Front Panel และ Block Diagram ออกทาง Printer

### MAGNETOELECTRIC TEST OF RECTIFIER DIODE

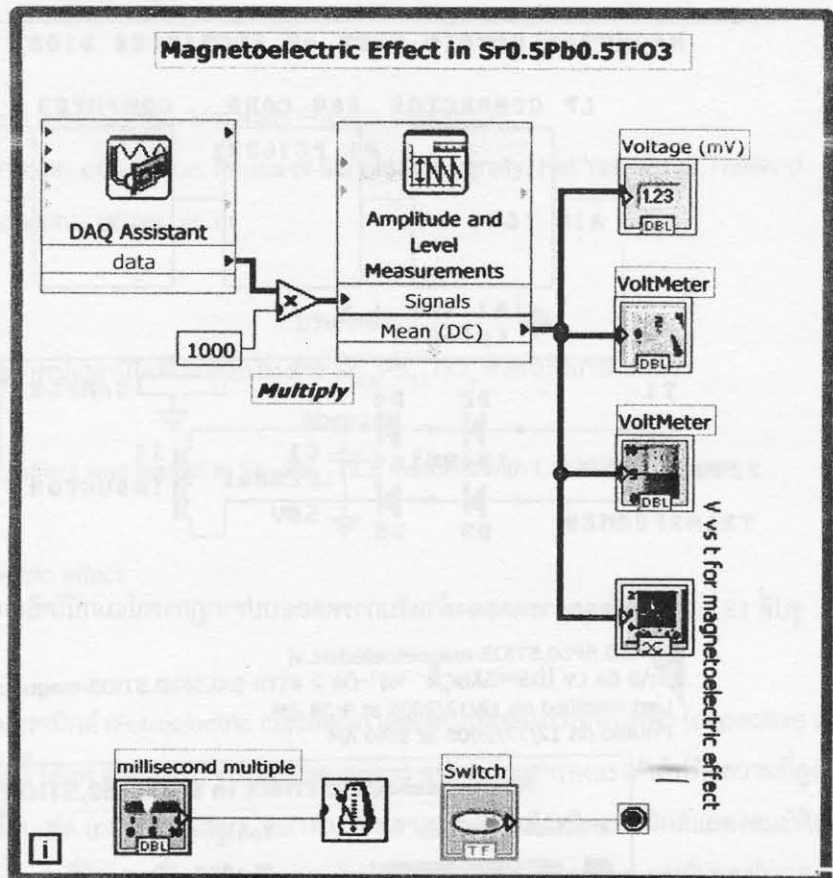


รูปที่ 13.3.2 การจัดชุดการทดลองสำหรับการทดสอบปรากฏการณ์แมกนีโตอิเล็กทริกในสาร  $\text{Sr}_{0.5}\text{Pb}_{0.5}\text{TiO}_3$

Sr0.5Pb0.5TiO3-magnetoelectric.vi  
D:\0-a LV ๒๕๖๐ ๑๗๐๘ ๐๙ ๐๙ ๒ #\Th-Sr0.5Pb0.5TiO3-magnetoelectric.vi  
Last modified on 12/12/2006 at 9:38 AM  
Printed on 12/12/2006 at 9:40 AM



Sr0.5Pb0.5TiO3-magnetoelectric.vi  
0:\0-0a LV ÍÍáººáººÐCÑ' aØ' Øe 2 #\Th-Sr0.5Pb0.5TiO3-magnetoelectric.vi  
Last modified on 12/12/2006 at 9:38 AM  
Printed on 12/12/2006 at 9:40 AM



รูปที่ 13.3.3 Front Panel และ Block Diagram สำหรับการทดสอบปรากฏการณ์แมกนีตอิเล็กตริก  
ในสาร  $\text{Sr}_{0.5}\text{Pb}_{0.5}\text{TiO}_3$

ผลการทดสอบ

ผลการทดสอบปรากฏการณ์แมกนีติโอดิเล็กติริกในสาร  $Sr_{0.5}Pb_{0.5}TiO_3$  แสดงดังรูปที่ 13.3.3  
วิเคราะห์ผลการทดลอง

ผลการทดสอบประกายการณ์แมกนีติโอดิเล็กติกในสาร  $Sr_{0.5}Pb_{0.5}TiO_3$  ทำให้ทราบความสัมพันธ์ระหว่างไฟล่าเรืองกับสนามแม่เหล็ก

## สรุปผลการทดสอบ

ระบบเข้มต่อคอมพิวเตอร์ที่ควบคุมด้วย LabVIEW สามารถแสดงผลการทดสอบปรากฎการณ์-แมกนีโธอิเล็กตริกในสาร  $\text{Sr}_{0.5}\text{Pb}_{0.5}\text{TiO}_3$

เอกสารอ้างอิง

ลงชื่อ พันธุ์เมธากุลพิริยะ ฟิสิกส์วัสดุอิเล็กทรอนิกส์ ภาควิชาฟิสิกส์ คณะวิทยาศาสตร์  
มหาวิทยาลัยสงขลานครินทร์ 2548

13.4 การทดสอบปรากฏการณ์แมกนีโถอิมพีเดนซ์ในเซรามิกส์เพอร์โรอิเล็กตริก  
บทความ การทดสอบปรากฏการณ์แมกนีโถอิมพีเดนซ์ในอุปกรณ์เพื่อใช้อิเล็กตริกเชิงการค้า  
, Magnetoimpedance effect test in commercial piezoelectric device

คงชัย พันธ์เมฆาฤทธิ์

Thongchai Panmatarith

M.Sc. (Solid State Physics), Assoc. Prof., Materials Physics Laboratory,

Department of Physics, Faculty of Science, Prince of Songkla University, Hat Yai, 90112 Thailand.

Corresponding e-mail : tongchai.p@psu.ac.th

### บทคัดย่อ

ให้ทดสอบปรากฏการณ์แมกนีโถอิมพีเดนซ์ในอุปกรณ์สารเพื่อใช้อิเล็กตริกเชิงการค้า

### Abstract

Magnetoimpedance effect was tested in commercial piezoelectric device

**Key words :** Magnetoimpedance effect

### บทนำ

ความต้านทานไฟฟ้าตรง (DC electric resistance) ของตัวเก็บประจุไฟฟ้าในทางอุดมคติมีค่าอนันต์ แต่ในทางปฏิบัติความต้านทานไฟฟ้าตรงมีค่าจำกัด  $R_s$  ความต้านทานไฟฟ้าตรงของตัวเก็บประจุไฟฟ้าแบบแผ่นนานาที่มีพื้นที่หน้าตัด A และระยะระหว่างแผ่นนานาต L มีค่าดังสมการ

$$R_s = \frac{\rho L}{A}$$

ความสัมพันธ์ระหว่างความจุไฟฟ้า ( $C$ ) กับค่าคงที่ไดอิเล็กตริก ( $\epsilon_r$ ) แสดงดังสมการ

$$C = \epsilon_r \epsilon_0 A/L ; \epsilon_r = 1 + \chi_r$$

เมื่อ A เป็นพื้นที่หน้าตัด d เป็นเส้นผ่านศูนย์กลางของสสาร L เป็นความหนาของสสาร และ  $\chi_r$  เป็นสภาพอ่อนไหวทางไฟฟ้า ปริมาณในวงจรไฟฟลัม ได้แก่ Z, G, C, D, Q,  $\epsilon_r$  และ  $\chi_r$  เมื่อ Z เป็นอิมพีเดนซ์ (impedance), G เป็นความนำไฟฟ้า (conductance), C เป็นความจุไฟฟ้า (capacitance), D เป็นตัวประกอบการสูญเสีย (dissipation factor), Q เป็นตัวประกอบคุณภาพ (quality factor),  $\epsilon_r$  เป็นค่าคงที่ไดอิเล็กตริก (dielectric constant) และ  $\chi_r$  เป็นสภาพอ่อนไหวทางไฟฟ้า (electric susceptibility)

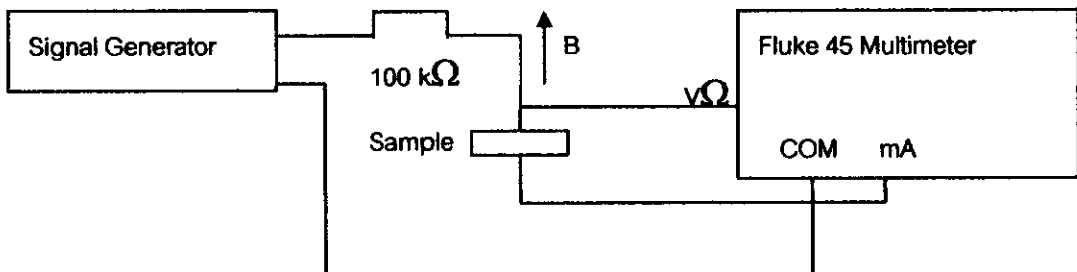
การค้นพบไฟฟ้าเฟอร์โร (ferroelectricity) ใน BaTiO<sub>3</sub> ในปี ค.ศ 1940 นำไปสู่การทำตัวเก็บประจุที่มีค่าคงที่ไดอิเล็กตริก (high dielectric constant capacitor) ไฟฟ้าเฟอร์โรเกิดจากการจัดเรียงตัวของโมเมนต์ชาร์จไฟฟ้าซึ่งมีความเกี่ยวข้องกับความสมมาตรของผลึก (crystal symmetry) ไฟฟ้าเฟอร์โรเกิดจากทิศทางขานานกันของโมเมนต์ชาร์จไฟฟ้า (electric dipole moment) บริเวณที่มีไฟฟ้าໄรเรียนที่เกิดขึ้นเอง (spontaneously polarized region) ที่มีไฟฟ้าໄรเรียนทิศทางเดียวกันเรียกว่า โดเมน (domain) ความสัมพันธ์ของ การจัดเรียงตัวของโมเมนต์ชาร์จไฟฟ้าและความสมมาตรของผลึก วัสดุในกลุ่ม BaTiO<sub>3</sub> ที่มีโครงสร้างผลึกแบบเพอร์ฟลัมิเต็ต ใช้ทำตัวเก็บประจุไฟฟ้าแบบเซรามิกส์ (ceramic capacitor) ไฟฟ้าໄรเรียนที่เกิดขึ้นเองสามารถเรียงตัวขานานกันกับขอนำหน่วยเซลล์ โดเมนจะต่อเนื่องกันได้รับสนาม

ไฟฟ้าแรงสูง (high electric field) หลังจากที่สารผ่านการโพลิง (poling) พบว่าค่าคงที่ดีโอดิเล็กติกจะเปลี่ยนแปลง การมีไฟฟ้าเรื้อรังด้านในสารเนื่องจากผลโพลิงสามารถพิจารณาได้จากการล้าเพอร์เซอเดลิกซ์ตริก (ferroelectric hysteresis loop)

ปรากฏการณ์เมกนีติโอมพีเดนซ์ที่พบใน  $Pb(Zr_{0.52}Ti_{0.48})O_3$  คือปรากฏการณ์ที่อิมพีเดนซ์ของสารมีค่าเพิ่มขึ้น ในขณะที่อยู่ในสนามแม่เหล็กภายนอก

บทความนี้เป็นการศึกษาปรากฏการณ์เมกนีติโอมพีเดนซ์ในอุปกรณ์ที่ใช้ดีโอดิเล็กติกในการค้า  
วัสดุ อุปกรณ์และวิธีการ

สร้างเครื่องกำเนิดสนามแม่เหล็กแรงสูง จัดเครื่องมือทดลองตามรูปที่ 13.4.1 จ่ายกระแสไฟฟ้าที่มีความถี่ (f) ที่ค่าหนึ่งจากเครื่องกำเนิดสัญญาณไฟฟ้าผ่านตัวต้านทาน  $100\text{ k}\Omega$  บันทุณภาพแม่เหล็ก B จากเครื่องกำเนิดสนามแม่เหล็กแรงสูงไปยังสาร ให้มัลติมิเตอร์วัดกระแสไฟฟ้า (I) และแรงดันไฟฟ้า (V) ของสาร คำนวนค่าอิมพีเดนซ์ (Z) ด้วยสูตร  $Z = V/I$  บันทึก Z และ B



รูปที่ 13.4.1 การจัดเครื่องมือสำหรับศึกษาปรากฏการณ์เมกนีติโอมพีเดนซ์ใน PZT ด้วยการค้า

#### ผลการทดลอง

การคำนวนสนามแม่เหล็ก (B) ที่ใช้ทดลองจะได้ดังนี้

$$B = \frac{\mu_0 \mu_r N I}{2L} \quad \text{Wb/m}^2 \quad (1)$$

เมื่อ  $\mu_0 = 4\pi \times 10^{-7}$  Wb/A m  $\mu_r = 1400$  Wb/A m  $N =$  จำนวนข้องขดลวด  $I =$  กระแสไฟฟ้าที่ไหลผ่าน = 4.2 A และ  $L =$  ความยาวของขดลวด

หาค่า L

$$R = \rho \frac{L}{A} \rightarrow L = R \frac{A}{\rho}$$

$$A = \pi r^2$$

$$\rho = 1$$

$$\sigma$$

$$L = \sigma R A \rightarrow A = \frac{\rho d^2}{4}$$

4

ซึ่ง  $d = 1.25$  mm,  $R = 12.9 \Omega$ ,  $r = 20.10$  mm,  $\sigma = 2.37 \times 10^6 \Omega^{-1}\text{m}^{-1}$

$$A = \pi(1.25\text{mm})^2 = 1.23 \times 10^{-6} \text{ m}^2$$

4

$$L = (2.37 \times 10^6 \Omega^{-1}\text{m}^{-1})(12.9 \Omega)(1.23 \times 10^{-6} \text{ m}^2)$$

$$L = 37.6 \text{ m}$$

$$N = \text{ความยาวของ周道 } L = L = 37.6 \text{ m} = 297.72 \text{ รอบ}$$

$$\text{ความยาวของ周道/รอบ} = 2\pi r = 2\pi(20.10 \text{ mm})$$

แทนค่า ในสมการ (1) จะได้สนามแม่เหล็กที่ใช้ทดสอบดังสมการ

$$B = (4\pi \times 10^{-7} \text{ Wb/Am})(1400 \text{ Wb/Am})(297.72 \text{ turns})(4.2 \text{ A}) = 2.9 \times 10^{-2} \text{ Wb/m}^2$$

$$2(37.6 \text{ m})$$

ผลการทดสอบปراกฏิการณ์แมกนีติโอมพีแคนซ์โดยการไม่ป้อนและป้อนสนามแม่เหล็กแล้วเกิดการเปลี่ยนแปลงของ แรงดันไฟฟ้าต่อกครึ่ง身穿และกระแสไฟฟ้าที่ในผ่านสารที่บันทึกได้แสดงดังสมการ

$$\text{เมื่อ } B = 0 \text{ Wb/m}^2 \rightarrow V = 92.38 \text{ mV}, I = 0.8 \mu\text{A} \rightarrow Z = 115.48 \text{ M}\Omega$$

$$\text{เมื่อ } B \neq 0 \text{ Wb/m}^2 \rightarrow V = 69.77 \text{ mV}, I = 0.9 \mu\text{A} \rightarrow Z = 77.52 \text{ M}\Omega$$

เมื่อป้อนสนามแม่เหล็กให้แก่สาร อิมพีเดนซ์ของสารจะมีค่าลดลง

#### วิเคราะห์ผลการทดสอบ

เมื่อใช้สนามแม่เหล็กขนาด  $2.9 \times 10^{-2} \text{ Wb/m}^2$  ป้อนให้แก่ PZT เสียงการค้าง พบร่วมกับอิมพีเดนซ์มีค่าลดลง แสดงว่ามี ปراกฏิการณ์แมกนีติโอมพีแคนซ์ เกิดขึ้น การที่อิมพีเดนซ์มีค่าลดลงเกิดจากสนามแม่เหล็กทำให้อิเล็กทรอนิกส์การเรียงตัว เป็นระเบียบมากขึ้น

#### สรุปผลการทดสอบ

สาร PZT เสียงการค้าง แสดงปراกฏิการณ์แมกนีติโอมพีแคนซ์

#### เอกสารอ้างอิง

คงชัย พันธุ์เมฆาภรณ์ พลสิกส์วัสดุอิเล็กโทรเชรามิกส์ ภาควิชาพลสิกส์ คณะวิทยาศาสตร์  
มหาวิทยาลัยสงขลานครินทร์ 2548

Buchanan Reeva, C., 1991, Ceramic materials for electronics, Second edition, Marcel Dekker Inc.,  
New York.

**บทความ การทดสอบปراกฏิการณ์แมกนีติโอมพีแคนซ์ในสาร  $\text{Sr}_{0.5}\text{Pb}_{0.5}\text{TiO}_3$  ด้วยโปรแกรมlabview**  
**Magnetoimpedance effect test in  $\text{Sr}_{0.5}\text{Pb}_{0.5}\text{TiO}_3$  material**

**รองศาสตราจารย์ พันธุ์เมฆาภรณ์**

Thongchai Panmatarin

M.Sc. (Solid State Physics), Assoc. Prof., Materials Physics Laboratory,

Department of Physics, Faculty of Science, Prince of Songkla University, Hat Yai, 90112 Thailand.

Corresponding e-mail : tongchai.p@psu.ac.th

#### บทคัดย่อ

ได้ทดสอบปراกฏิการณ์แมกนีติโอมพีแคนซ์ในสาร  $\text{Sr}_{0.5}\text{Pb}_{0.5}\text{TiO}_3$  ด้วยโปรแกรมlabview

#### Abstract

Magnetoelectric effect was tested in  $\text{Sr}_{0.5}\text{Pb}_{0.5}\text{TiO}_3$  material with LabVIEW Program.

Key words : magnetoelectric effect

## บทนำ

สารเฟอร์โรอิเล็กตրิกเซรามิกส์ (Ferroelectric ceramics) แสดงสมบัติของการเก็บไฟฟ้า (capacitive property) การประยุกต์ใช้ชุดวงจรทางคู่นี้ ได้แก่ ตัวเก็บประจุไฟฟ้า (capacitor) อุปกรณ์การกรองแรงดันไฟฟ้าความถี่สูงผ่าน (high pass filter) และอุปกรณ์เดื่อนไฟฟ้า (phase shifter)  $\text{BaTiO}_3$  เป็นสารเฟอร์โรอิเล็กตրิกเซรามิกส์แสดงสมบัติเฟอร์โรอิเล็กต์ริก และนำไปใช้ในการทำตัวเก็บประจุที่มีค่าคงที่ได้อิเล็กต์ริกสูง ไฟฟ้าเฟอร์โรอิเล็กต์ริกจากพิษทางขานานกันของในเมมбрั่นคู่ไฟฟ้า (electric dipole moment) บริเวณที่มีโพลาไรเซชัน (polarization) พิษทางเดียวเรียกว่า โดเมน (domain)  $\text{BaTiO}_3$  มีโครงสร้างผลึกแบบเพอร์โวฟไสท์ (perovskite structure) โดยเน้นจะต้องมีสารให้รับสนามไฟฟ้าแรงสูง หลังจากที่ผ่านการโพลิง (poling) พบว่าค่าคงที่ได้อิเล็กต์ริก (dielectric constant) จะเพิ่มขึ้น การมีโพลาไรเซชันด้านในสารนี้จะจากผลของการโพลิงสามารถพิจารณาได้จากการล้าไฟฟ้าอิเล็กต์ริก (ferroelectric hysteresis loop)

ปรากฏการณ์แมกนีโตอิเล็กต์ริก คือ ปรากฏการณ์ที่โพลาไรเซชันเปลี่ยนแปลงในขณะที่สารอยู่ในสนามแม่เหล็ก Lixin Zhou ในประเทศไทย ได้เตรียมตัวเก็บประจุแบบหลายชั้น  $\text{Sr}_{0.7}\text{Ba}_{0.3}\text{TiO}_3$  วัดสภาพด้านทานไฟฟ้า (resistivity) ค่าคงที่ได้อิเล็กต์ริก (dielectric constant) และตัวประกอนการสูญเสีย (dissipation factor) ที่ความถี่ที่ตั้งแต่ 0.1 Hz ถึง 100 Hz ค่าคงที่ได้อิเล็กต์ริก ( $\epsilon_r$ ) ประมาณ 1000 และตัวประกอนการสูญเสีย ( $\delta$ ) ประมาณ 0.01% สำหรับชั้นตัวเก็บประจุที่หนา 0.5 μm

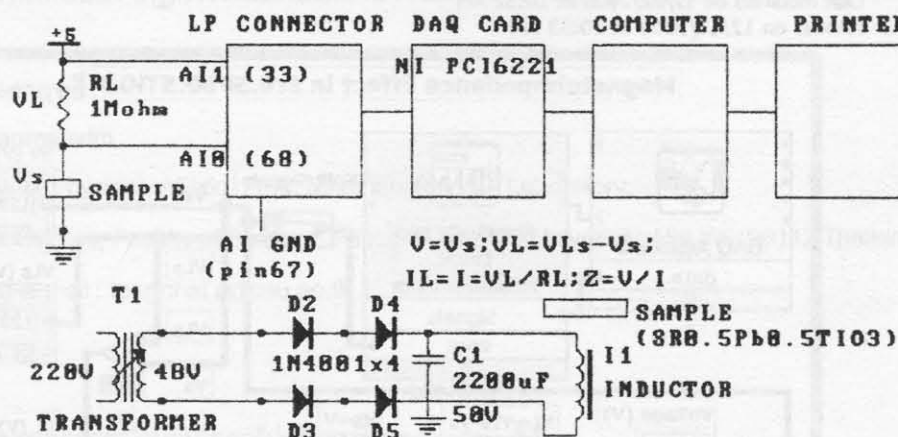
บทนี้เป็นการศึกษาปรากฏการณ์แมกนีโตอิเม็ตตาในสาร  $\text{Sr}_{0.5}\text{Pb}_{0.5}\text{TiO}_3$

### วิธีการทดลอง

จัดตั้งห้องปฏิบัติการ 13.4.2 เครื่องกำเนิดสัญญาณไฟฟ้าจ่ายกระแสไฟฟ้าให้ผ่าน  $RL=1 \text{ M}\Omega$  และ  $Rs$  (ความต้านทานของสาร) ทำให้มีแรงดันไฟฟ้าต่อกันเท่ากับ  $VL$  และ  $Vs$  เมื่อ  $VLs=Vs+VL$  ให้ความต่างศักย์ไฟฟ้า  $Vs$  และ  $VLs$  เข้า A10 และ A11 ของ LP connector ผ่าน DAQ Card (PCI 6221) เข้าไปในคอมพิวเตอร์ คำนวน  $VL=VLs-Vs$ ;  $I=VL/RL$ ;  $Is=IL$   $Z=Vs/Is$  ปล่องสนามแม่เหล็ก  $B = 0.73 \text{ mWb/m}^2$  ให้แก่สาร ให้แสดงสีในอิมพีเดนซ์ที่เปลี่ยนไปต่อหนึ่งหน่วยเวลา

Front Panel และ Block Diagram แสดงดังรูปที่ 13.4.3 DAQ Assistant ทำหน้าที่อ่านแรงดันไฟฟ้า  $Vs$  และ  $VLs$  มาที่ Amplitude and Level Measurements เพื่อให้ทำหน้าที่จัดปริมาณการวัดเป็นแบบ Rms Split Signal ทำหน้าที่แยก  $Vs$  และ  $VLs$  ออกจากกัน  $VL=VLs-Vs$  ด้วย Subtract  $I=IL=Is=VL/RL$  ด้วย Divide 1000000; คำนวน อิมพีเดนซ์ด้วย Divide และได้สูตร  $Z=Vs/Is=V/I$  แปลงหน่วยของอิมพีเดนซ์จาก  $\Omega$  มาเป็น  $\text{M}\Omega$  แสดงค่า  $Vs$ ,  $VLs$ ,  $VL$ ,  $I$ , อิมพีเดนซ์ ( $Z$ ) เป็นตัวเลขด้วย Numeric Indicator และอิมพีเดนซ์ ( $Z$ ) ที่เขียนกับเวลา ( $t$ ) เป็นกราฟด้วย Waveform Chart Millisecond Multiple เป็นเวลาหน่วง Stop Button เป็น numeric control ทำหน้าที่เปิดปิดสวิทช์ While Loop ทำหน้าที่ควบคุมการทำงานที่ซ้ำกัน สั่ง RUN เพื่อแสดงผลทั้งหมด สั่งพิมพ์ Front Panel และ Block Diagram ออกทาง Printer

## MAGNETOIMPEDANCE MEASUREMENT OF RECTIFIER DIODE



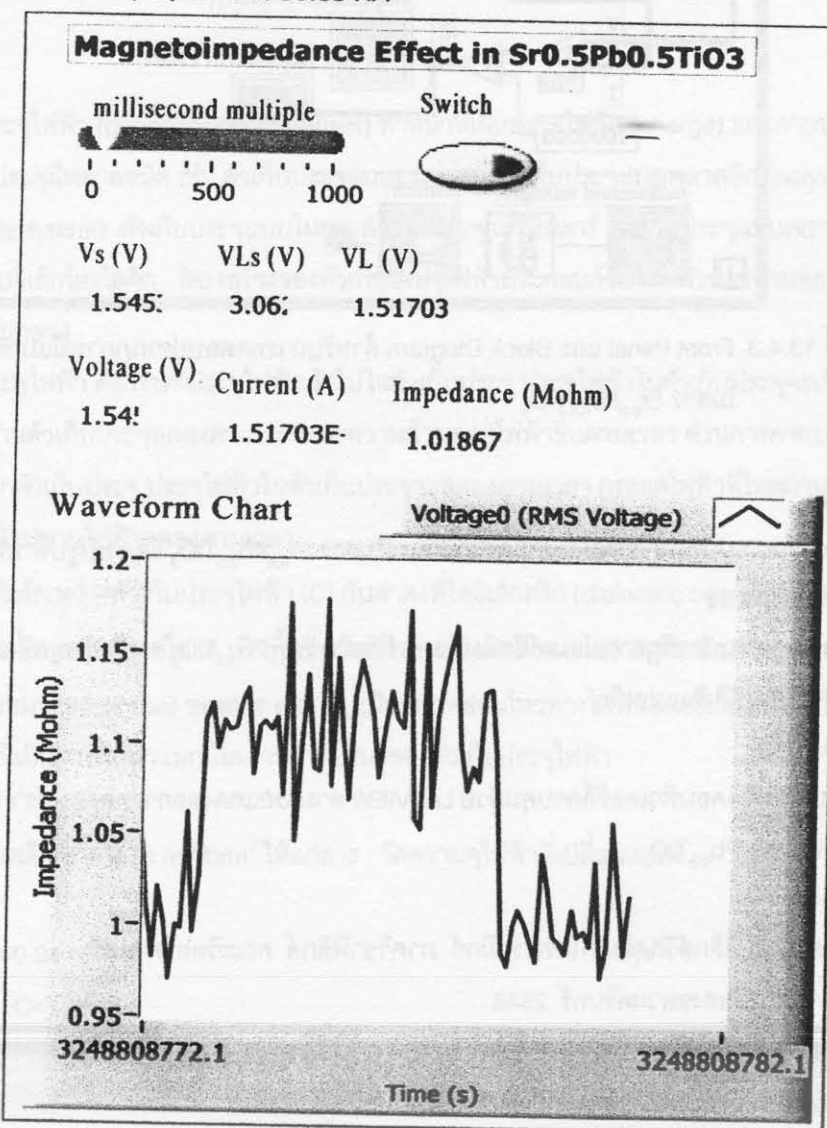
รูปที่ 13.4.2 การจัดชุดการทดลองสำหรับการทดสอบปริมาณการณ์แมกนีโตอิมพีเดนซ์ในสาร  $Sr_{0.5}Pb_{0.5}TiO_3$

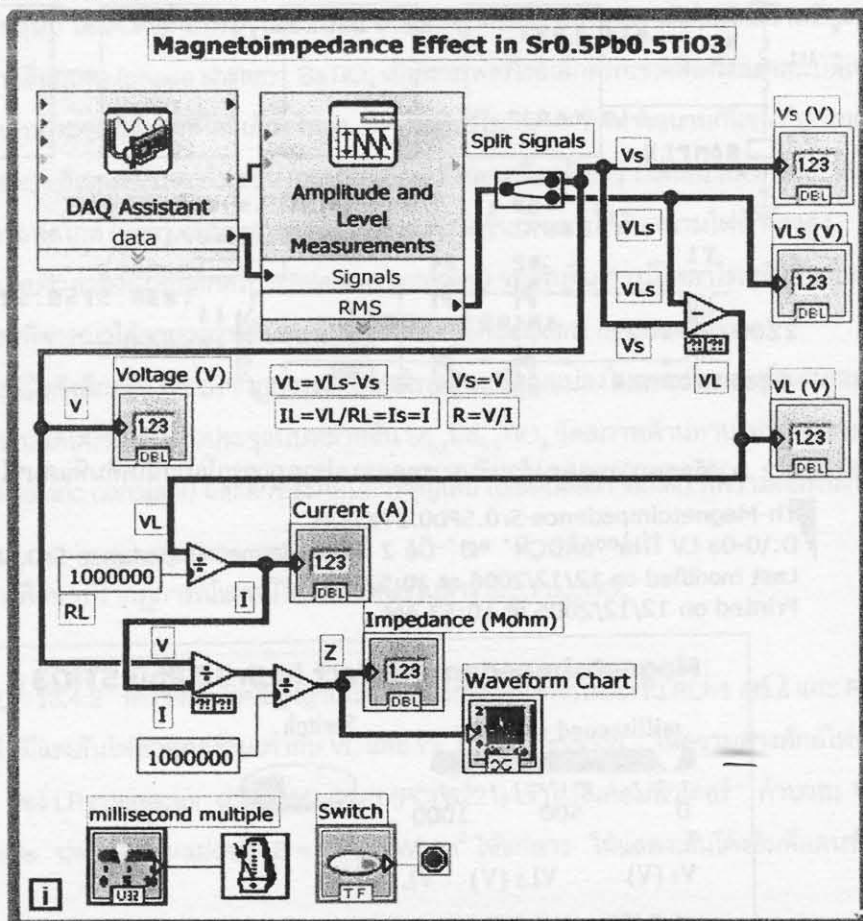
Th-Magnetoimpedance-Sr0.5Pb0.5TiO<sub>3</sub>.vi

D:\0-0a LV ÍÍáooáÅDCÑ' aØ'·Öè 2 #\Th-Magnetoimpedance-Sr0.5Pb0.5TiO3.vi

Last modified on 12/12/2006 at 10:52 AM

Printed on 12/12/2006 at 10:53 AM





รูปที่ 13.4.3 Front Panel และ Block Diagram สำหรับการทดสอบปรากฏการณ์แมกนีโตอิมพีเดนซ์ ในสาร  $\text{Sr}_{0.5}\text{Pb}_{0.5}\text{TiO}_3$

ผลการทดสอบ

ผลการทดสอบปะการังการณ์แมกนีโตอิมพีแคนซีในสาร  $Sr_{0.5}Pb_{0.5}TiO_3$  แสดงดังรูปที่ 13.4.3

## วิเคราะห์ผลการทดสอบ

ผลการทดสอบปรากฏการณ์แมกนีโตอิมพีเดนซ์ในสาร  $Sr_{0.5}Pb_{0.5}TiO_3$  จะเป็นข้อมูลที่แสดงความสัมพันธ์ระหว่างสมบัติเชิงไฟฟ้ากับสมบัติเชิงแม่เหล็ก

สรุปผลการทดลอง

ระบบเข้มต่อคอมพิวเตอร์ที่ควบคุมด้วย LabVIEW สามารถแสดงผลการทดสอบป้ายการณ์แมกนีโตอิมพีเดนซ์ในสาร  $Sr_xPb_{1-x}TiO_3$

ເອກສານຄ້າງມີ

รองรับ พันธุ์เมฆาทรี พลสิริวงศ์อดิเรก โภนธรรมิก์ ภาควิชาพลสิริ์ คณะวิทยาศาสตร์

มหาวิทยาลัยสงขลานครินทร์ 2548

### 13.5 การทดสอบปรากฏการณ์แมกนีโตคาปาริเมตันในสาร $Sr_{0.5}Pb_{0.5}TiO_3$ บทความ การทดสอบปรากฏการณ์แมกนีโตคาปาริเมตันในสาร $Sr_{0.5}Pb_{0.5}TiO_3$

คงชัย พันธ์เมธาธิรัช

Thongchai Panmatarith

M.Sc. (Solid State Physics), Assoc. Prof., Materials Physics Laboratory,

Department of Physics, Faculty of Science, Prince of Songkla University, Hat Yai, 90112 Thailand.

Corresponding e-mail : tongchai.p@psu.ac.th

#### บทคัดย่อ

ได้ทดสอบปรากฏการณ์แมกนีโตคาปาริเมตันในสาร  $Sr_{0.5}Pb_{0.5}TiO_3$

#### Abstract

Magnetocapacitance effect of  $Sr_{0.5}Pb_{0.5}TiO_3$  material was tested.

Key words : magnetocapacitance material

#### คำนำ

ตัวเก็บประจุไฟฟ้า (capacitor or condenser) ทำหน้าที่เก็บประจุไฟฟ้า (charge) และถ่ายประจุไฟฟ้า (discharge) ตัวเก็บประจุมีหลายชนิด เช่น ตัวเก็บประจุแบบกระดาษ ตัวเก็บประจุแบบพลาสติก (polyester, polycarbonate, polystyrene) ตัวเก็บประจุแบบไม้ภาชนะ ตัวเก็บประจุแบบไม้ลาร์ ตัวเก็บประจุแบบเซรามิกซ์ ( $BaTiO_3$ ) และตัวเก็บประจุแบบอิเล็กโทรโลติก โครงสร้างของตัวเก็บประจุไฟฟ้าประกอบด้วยแผ่นตัวนำขนาดสองแผ่นที่มีไนโตรเจนทวิตริก (dielectrics) คั่นกลาง

การเก็บประจุไฟฟ้า คือ การเก็บประจุไฟฟ้าเข้าไปในตัวเก็บประจุ ประจุไฟฟ้าในตัวเก็บประจุจะเพิ่มขึ้นตามเวลา กระแสไฟฟ้าที่ไหลผ่านตัวเก็บประจุลดลงตามเวลาและความด้านทานไฟฟ้าขึ้นตามเวลา ส่วนการถ่ายประจุไฟฟ้า คือ การที่ประจุไฟฟ้าออกจากการตัวเก็บประจุ ประจุไฟฟ้าในตัวเก็บประจุจะลดลงตามเวลา กระแสไฟฟ้าที่ไหลผ่านตัวเก็บประจุลดลงตามเวลาและความด้านทานไฟฟ้าลดลงตามเวลา

ความสัมพันธ์ระหว่างตัวเก็บประจุไฟฟ้า ( $C$ ) กับค่าคงที่ไนโตรเจนทวิตริก (dielectric constant,  $\epsilon_r$ ) แสดงดังสมการ  $C = \epsilon_r \epsilon_0 A / L = \epsilon_r \epsilon_0 A / L ; \epsilon_r = 1 + \chi_e$  เมื่อ  $A$  เป็นพื้นที่หน้าตัด (cross section area)  $d$  เป็นเส้นผ่านศูนย์กลาง (diameter) ของสาร  $L$  เป็นความหนา (thickness) ของสาร และ  $\chi_e$  เป็นสภาพอยู่ในทางไฟฟ้า (electric susceptibility)

บทความนี้เป็นการศึกษาแมกนีโตคาปาริเมตันของตัวเก็บประจุไฟฟ้า

#### วิธีการทดลอง

ปล่อยสนามแม่เหล็ก  $B = 0.73 \text{ mWb/m}^2$  ให้แก่สาร วัดความจุไฟฟ้าที่เปลี่ยนแปลง

#### ผลการทดลอง

$B = 0 \text{ mWb/m}^2 \quad C = 0.94 \text{ nF}$

$B = 0.73 \text{ mWb/m}^2 \quad C = 1.33 \text{ nF}$

## วิเคราะห์ผลการทดสอบ

การทดสอบปรากฏการณ์เมืองน้ำให้คำปฏิเสธน้ำทำให้ทราบการเปลี่ยนแปลงความรุ่ไฟฟ้าในชั้นดินที่อยู่ใน  
สถานะเมล็ดกุ้ง

## สรุปผลการทดสอบ

ระบบการวัดที่ได้รับขึ้นสามารถใช้ในการศึกษาเมืองน้ำให้คำปฏิเสธน้ำของตัวเก็บประจุไฟฟ้า  
เอกสารซึ่งอ้างอิง

รองนาย พันธ์เมฆาถุทธิ์ พลสิกร์สกุลเล็กบิราเวรานิกิตร ภาควิชาพลสิกร์ คณะวิทยาศาสตร์

มหาวิทยาลัยสงขลานครินทร์ 2548